

Санкт-Петербургский государственный политехнический университет Институт прикладной математики и механики Кафедра «Механика и процессы управления»

Магистерская работа по направлению 151600 «Прикладная механика»

КОНЕЧНО-ЭЛЕМЕНТНОЕ МОДЕЛИРОВАНИЕ И ИССЛЕДОВАНИЕ ВЛИЯНИЯ ПРИМЕНЕНИЯ ТЕХНОЛОГИИ MSIP НА НАПРЯЖЕННО-ДЕФОРМИРОВАННОЕ СОСТОЯНИЕ СВАРНЫХ СОЕДИНЕНИЙ ТРУБОПРОВОДОВ ДУ300

Выполнил студент группы 6055/12 Руководитель, к. т. н., профессор Соруководитель, ассистент

Пивков А. В. Боровков А. И.

Модестов В. С.

Санкт-Петербург 2013 год

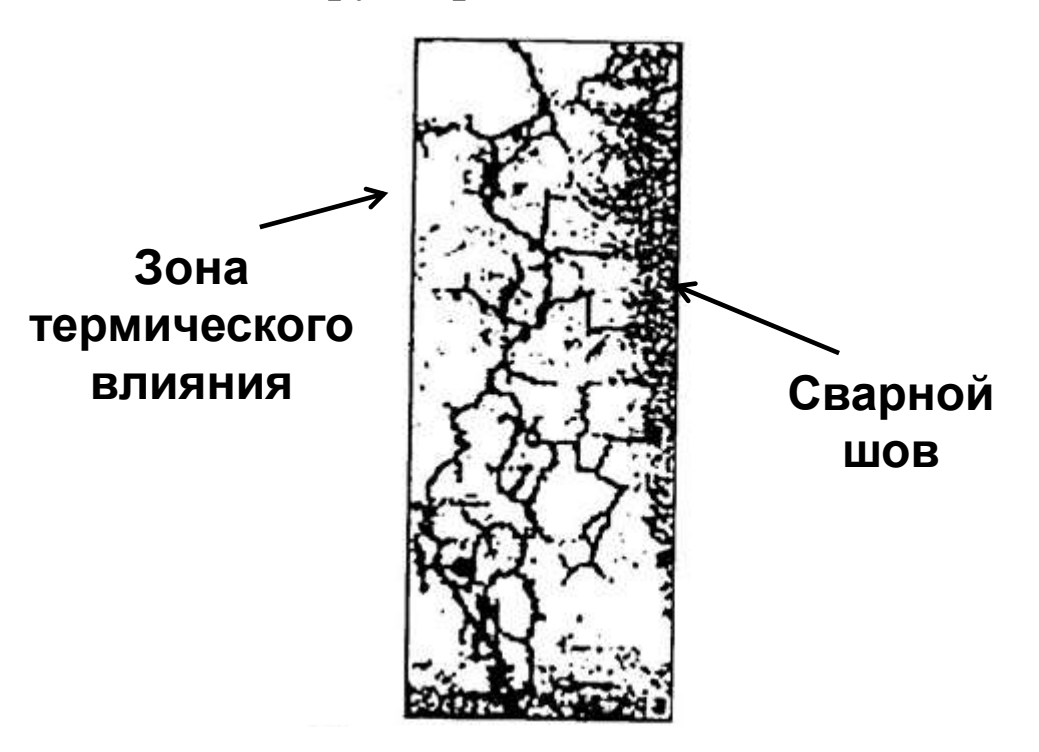


Содержание

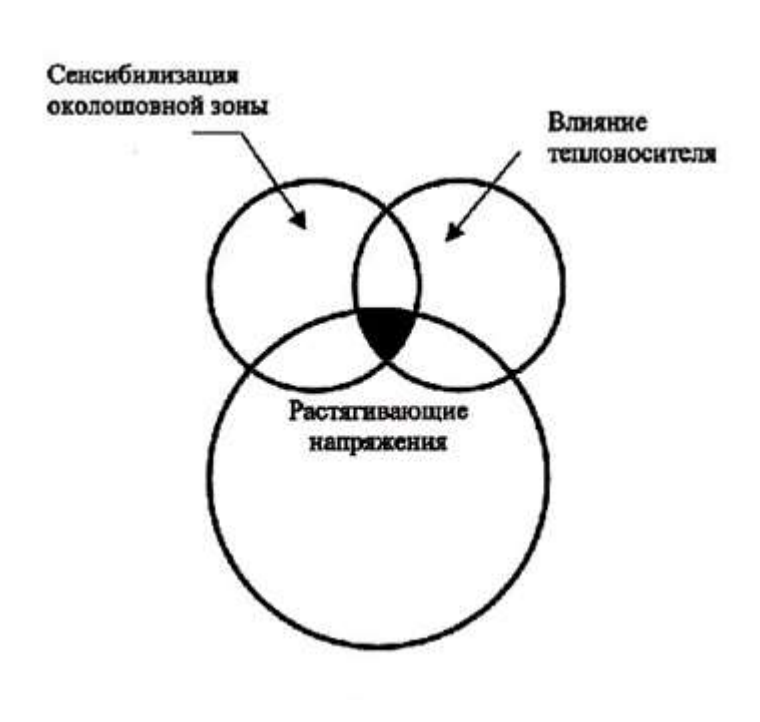
- 1. Общие сведения
- механизм возникновения трещин
- технология аргонодуговой сварки
- технология обжатия (MSIP)
- 2. Расчет остаточных сварочных напряжений
- тепловая задача
- расчет остаточных напряжений в СС с конусным переходом
- расчет остаточных напряжений в СС с тройником
- 3. Результаты применения технологии MSIP

МКРПН - межкристаллитное коррозионное растрескивание под напряжением

Микроструктура трещин в околошовной зоне стыкового соединения трубопровода ДУ 300



Факторы зарождения трещин по механизму МКРПН

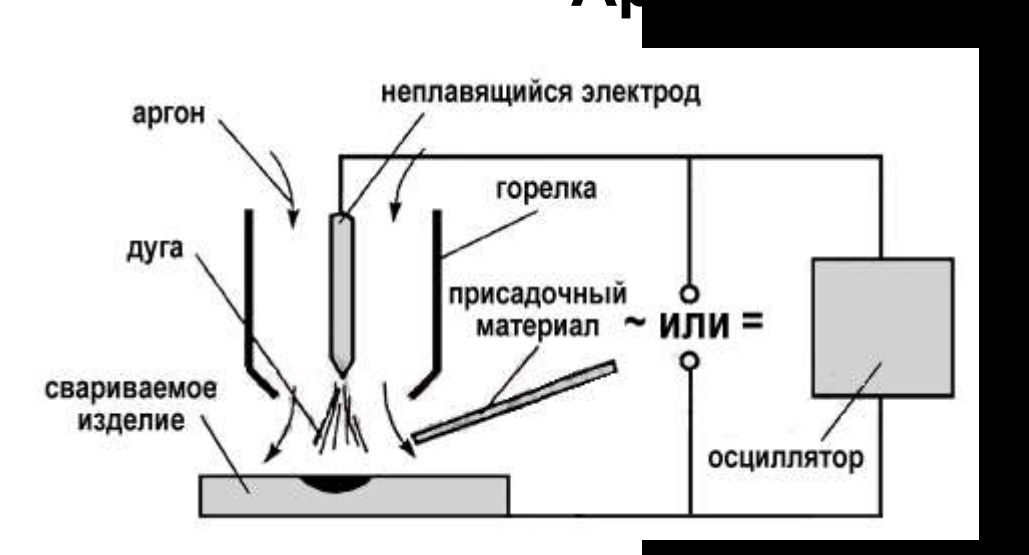


Технология MSIP

(Mechanical Stress Improvement Process - процесс перераспределения напряжений путем механического обжатия)









Расчет остаточных сварочных напряжений Труба Ду300 - конусный переход Труба Ду300 - тройник

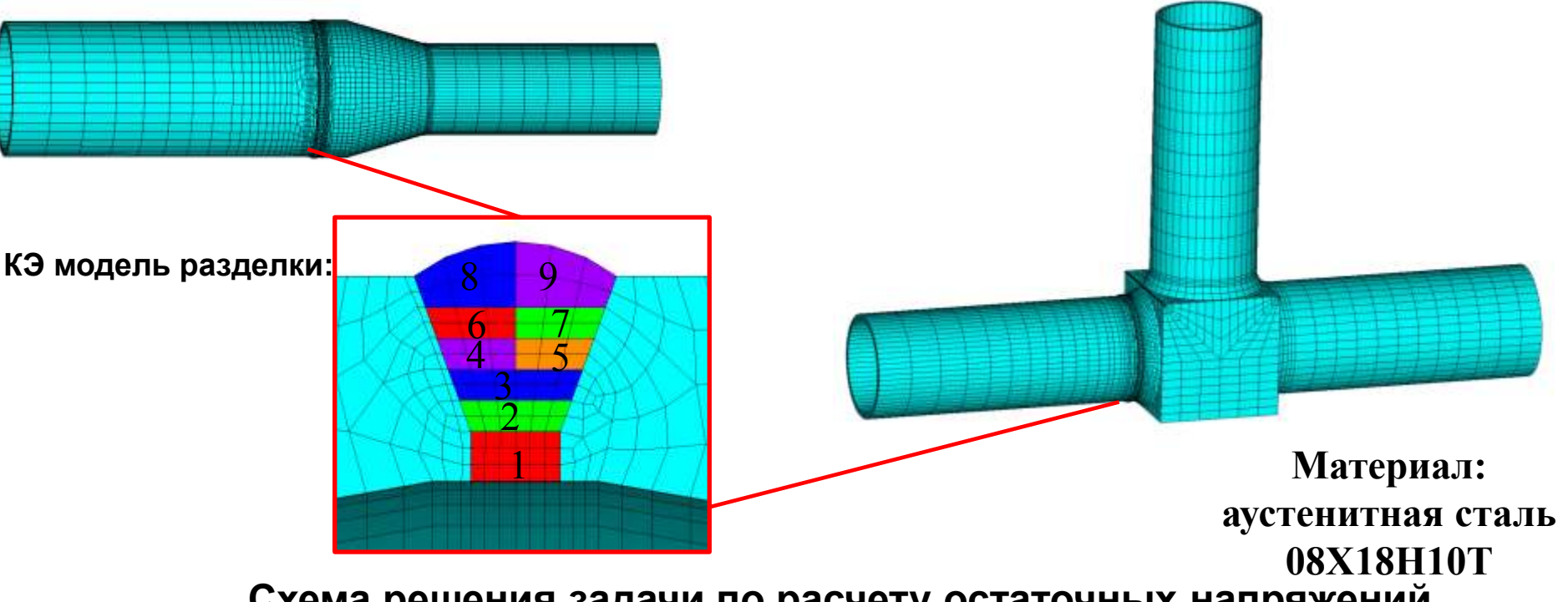
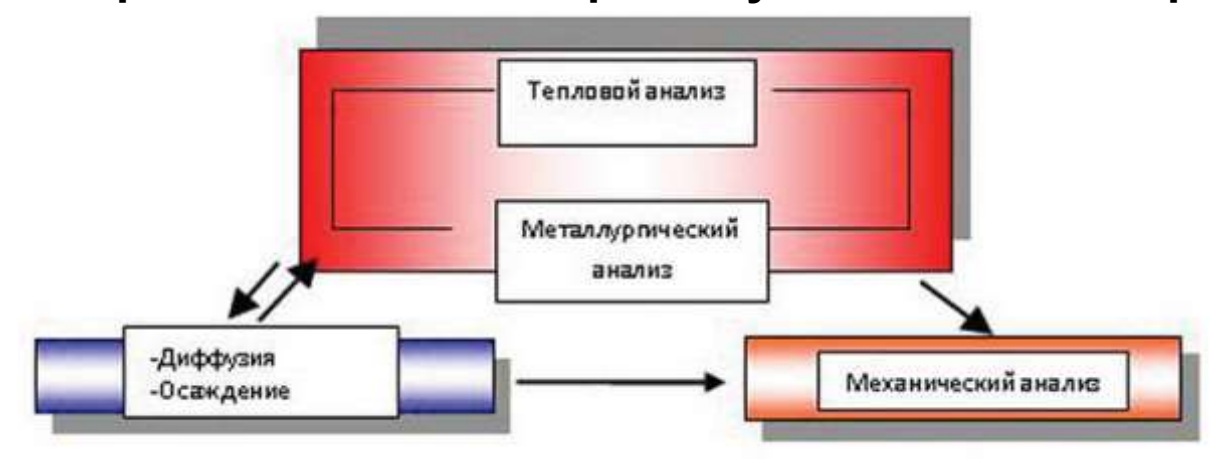
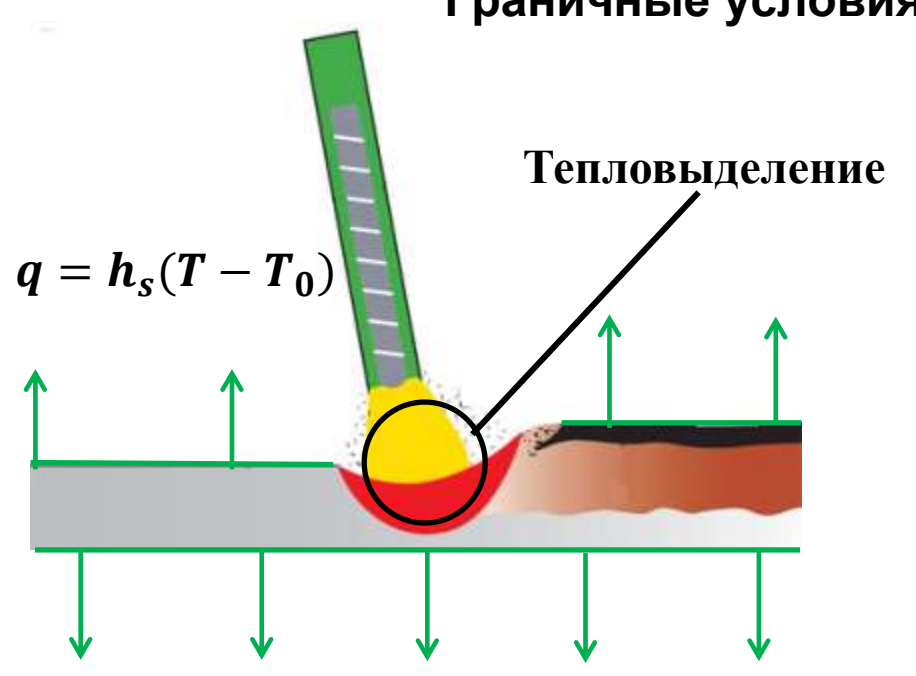


Схема решения задачи по расчету остаточных напряжений





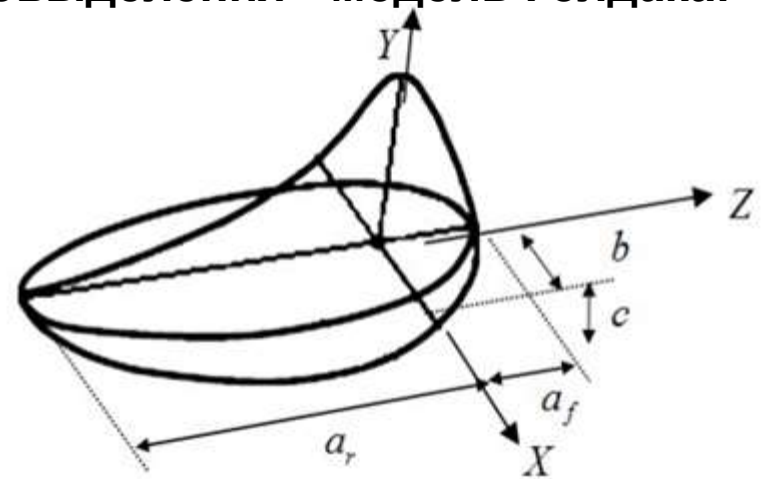
Граничные условия тепловой задачи



Параметры процесса сварки (РАДС)

№ прохода	Скорость сварки, мм/с	Погонная энергия, Дж/см
1-2	4	690
3-8	4	810

Модель источника объемного тепловыделения - модель Голдака:



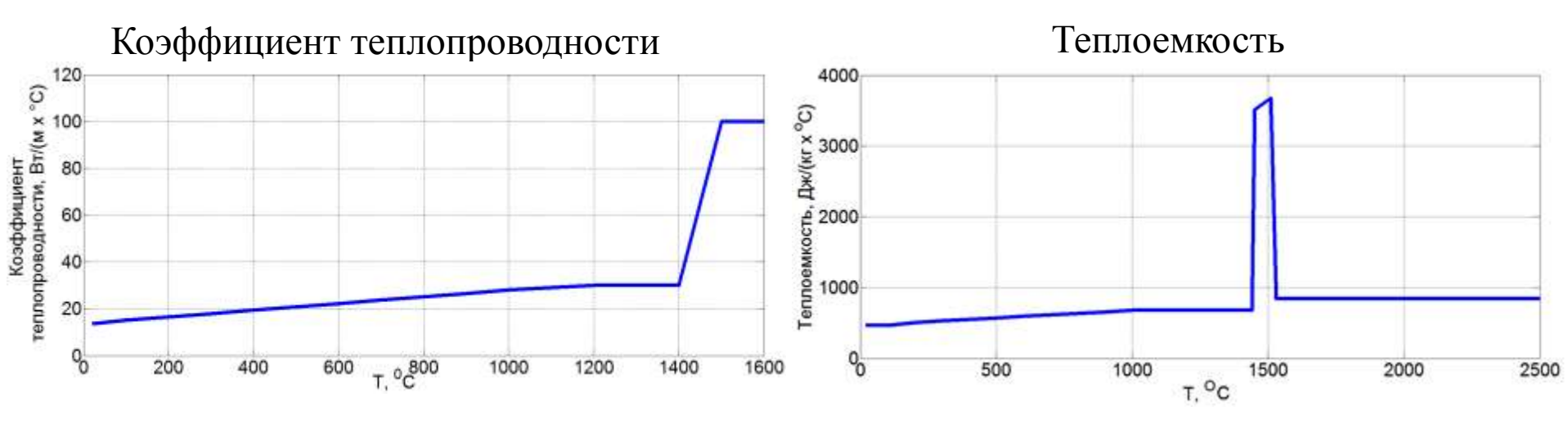
Тепловыделение на участке a_f :

$$Q_f = \frac{6\sqrt{3}\eta Q_w f_f}{\pi \sqrt{\pi} a_f b c} \exp \left\{ -3 \left(\frac{z^2}{a_f^2} + \frac{y^2}{b^2} + \frac{x^2}{c^2} \right) \right\}$$

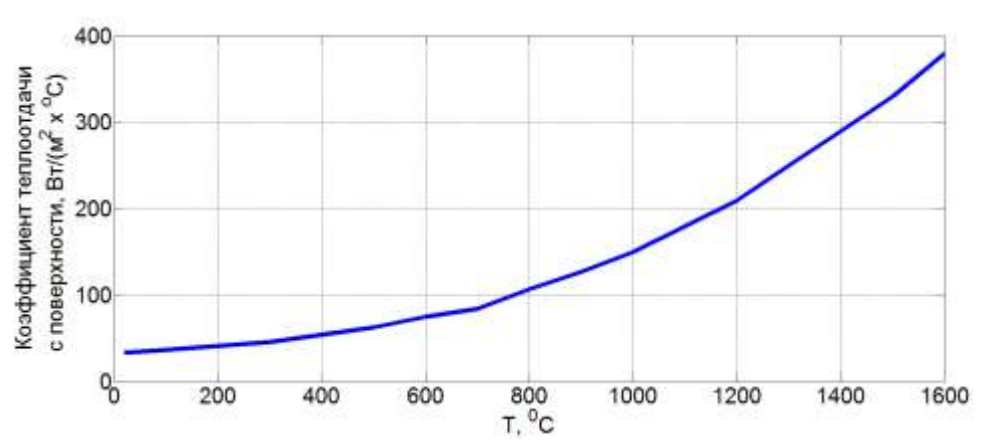
Тепловыделение на участке a_r :

$$Q_r = \frac{6\sqrt{3}\eta Q_w f_r}{\pi \sqrt{\pi} a_r bc} \exp \left\{ -3\left(\frac{z^2}{a_r^2} + \frac{y^2}{b^2} + \frac{x^2}{c^2}\right) \right\}$$

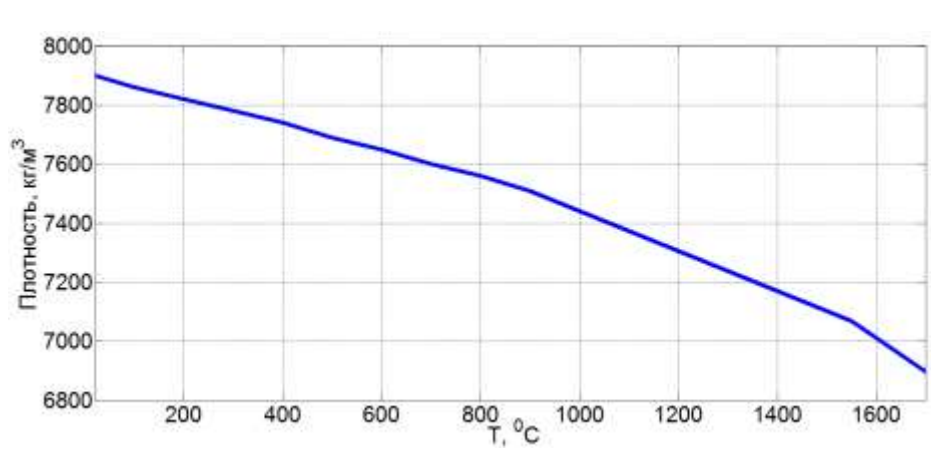
Теплофизические свойства стали 08Х18Н10Т



Коэффициент теплоотдачи с поверхности

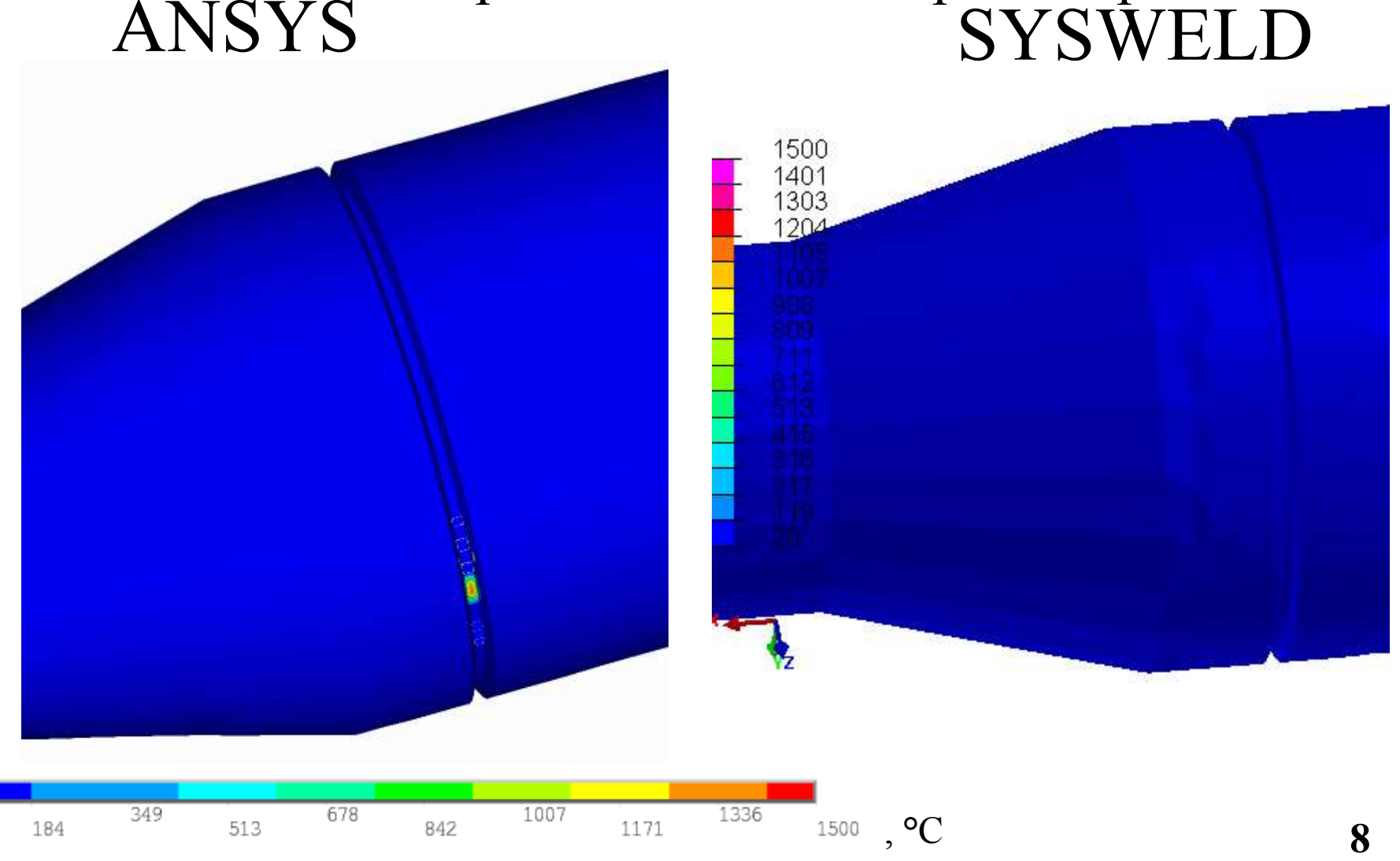


Плотность



Результаты решения тепловой задачи

Тепловое поле при выполнении первого прохода: ANSYS SYSWELD



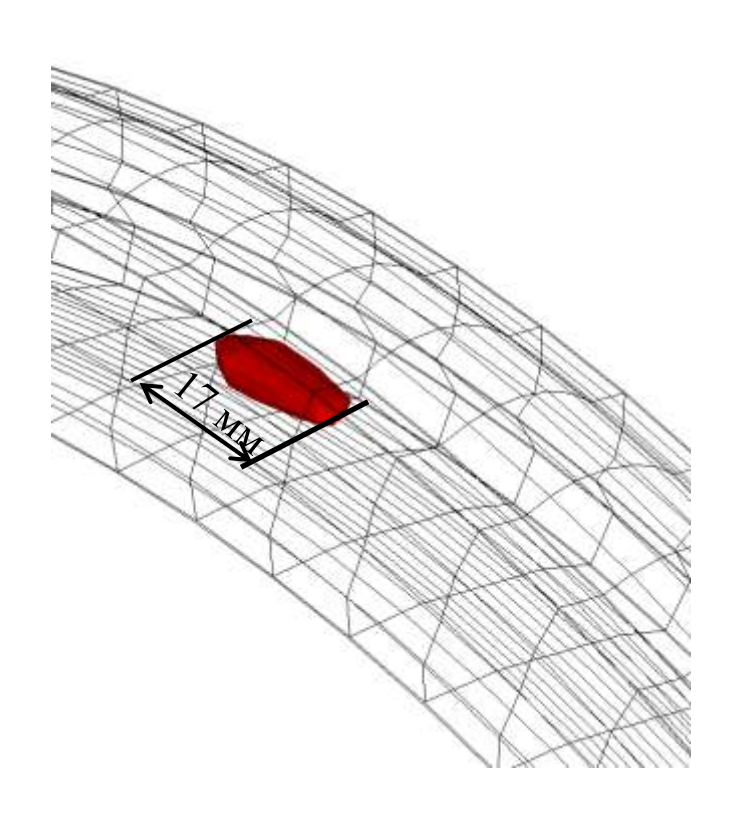


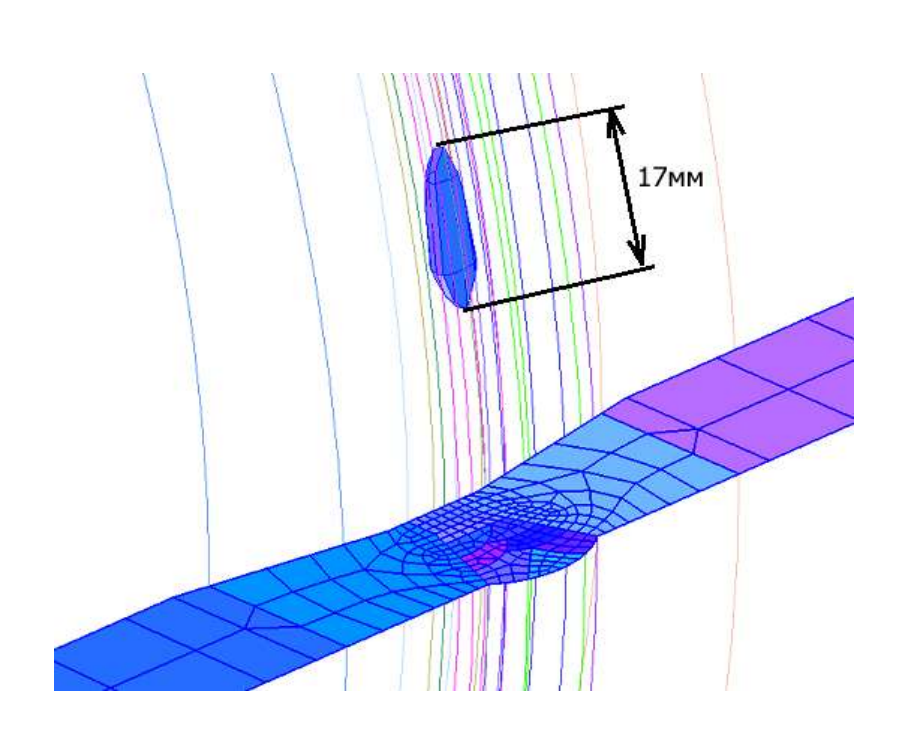


ANSYS



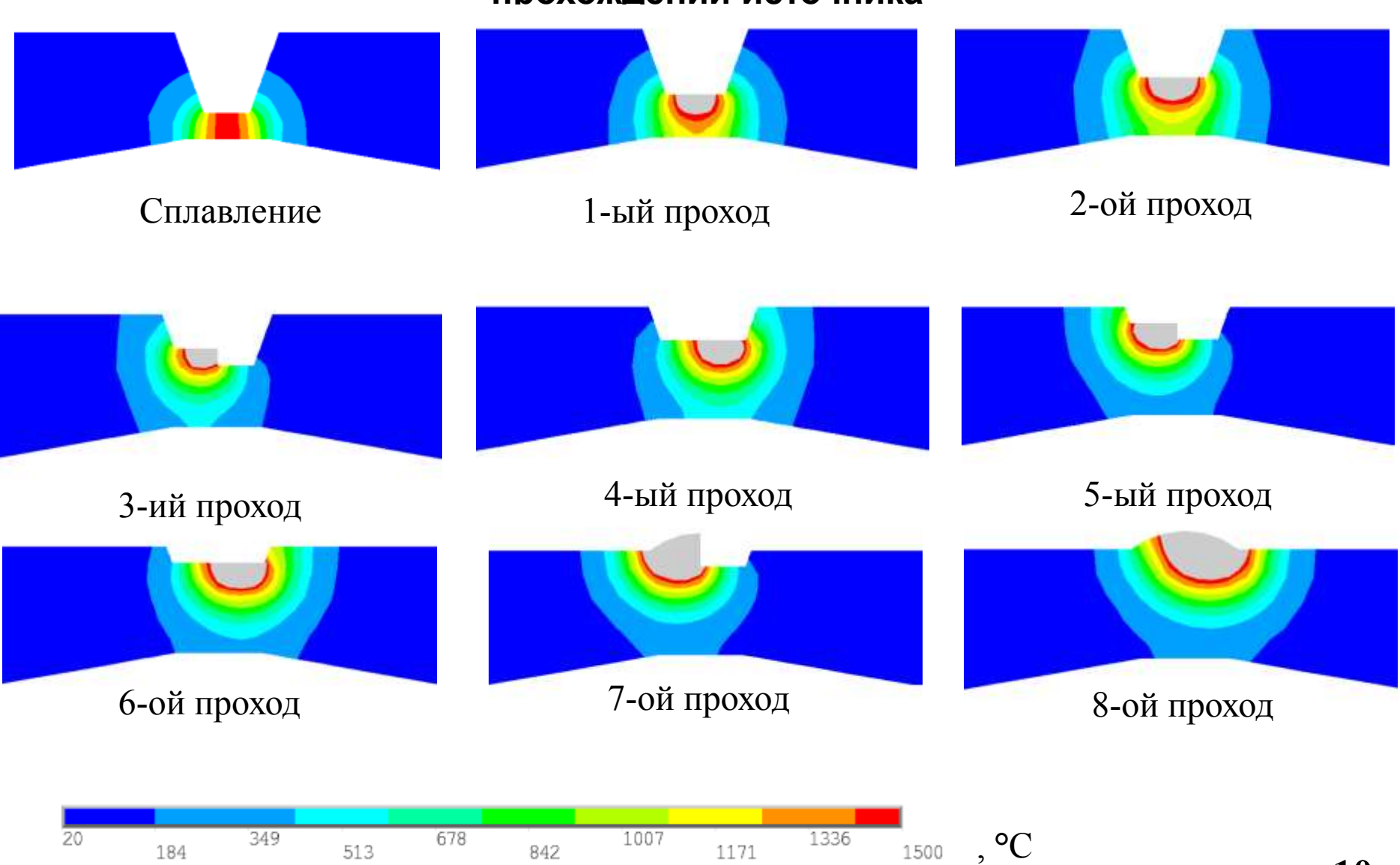
Кафедра







Характерные профили температурного поля в сечении при прохождении источника



200

400

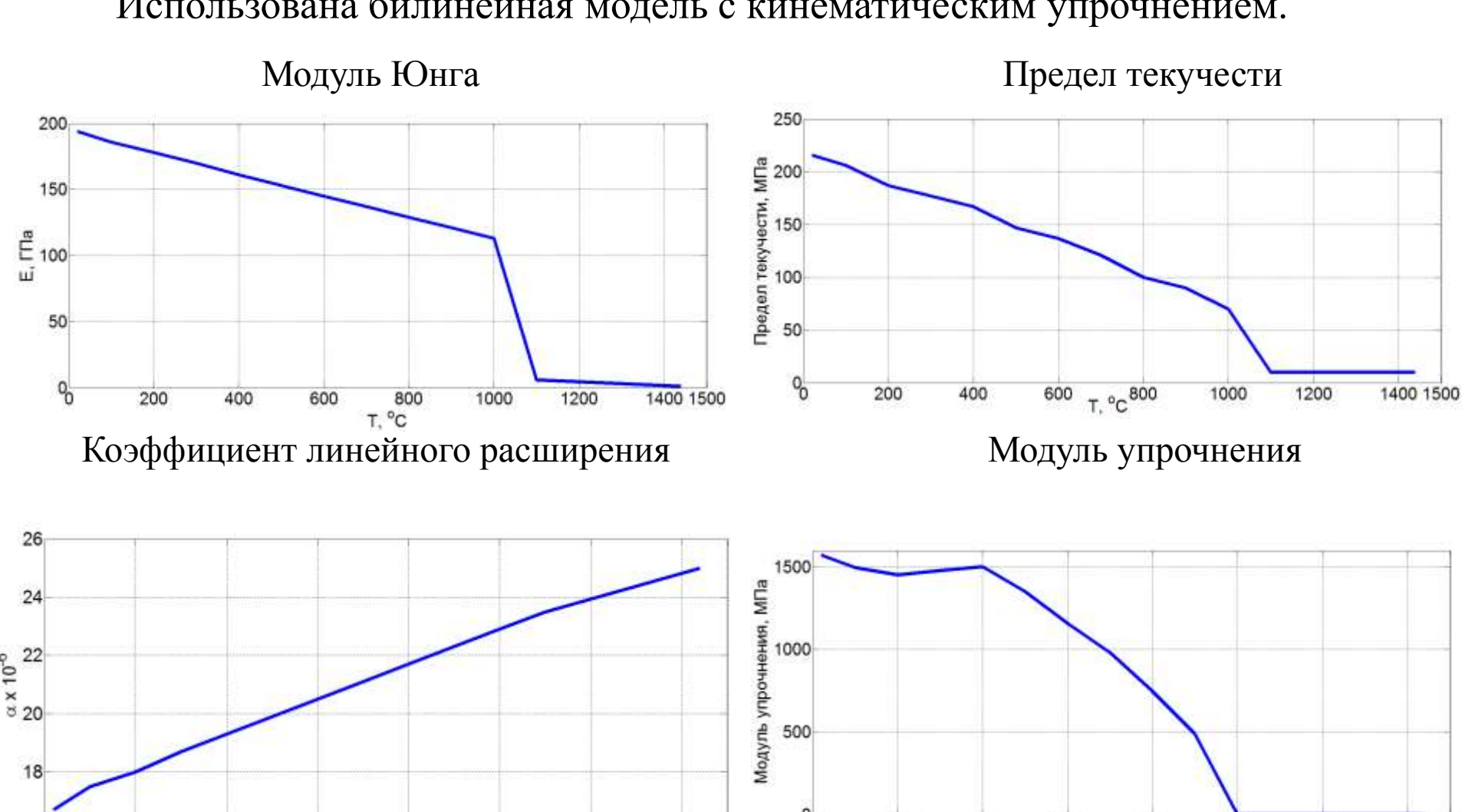
1000

1200

1400 1500

Решение прочностной задачи: механические свойства стали 08X18H10T

Использована билинейная модель с кинематическим упрочнением.



200

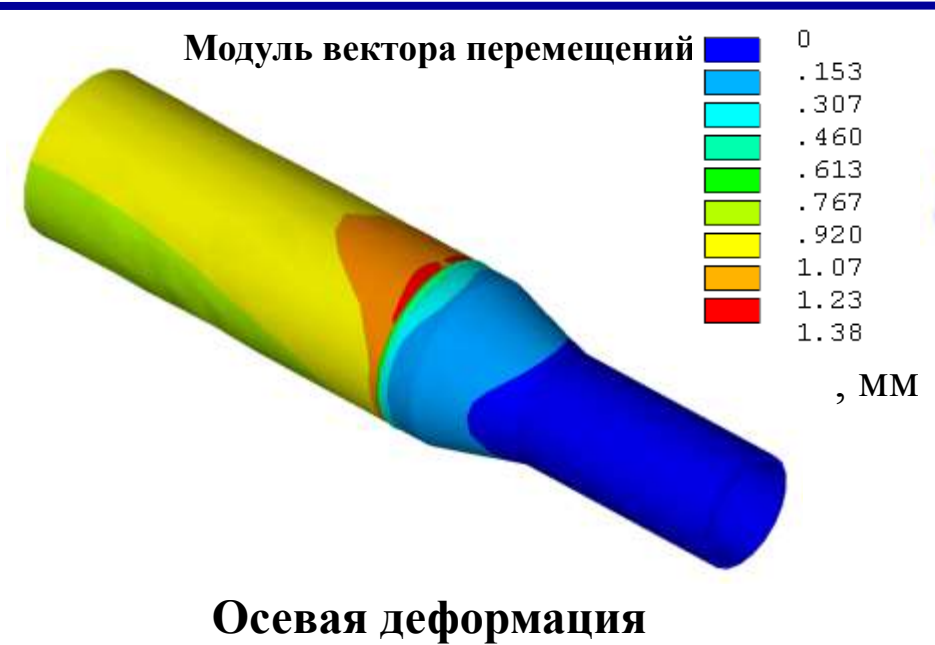
400

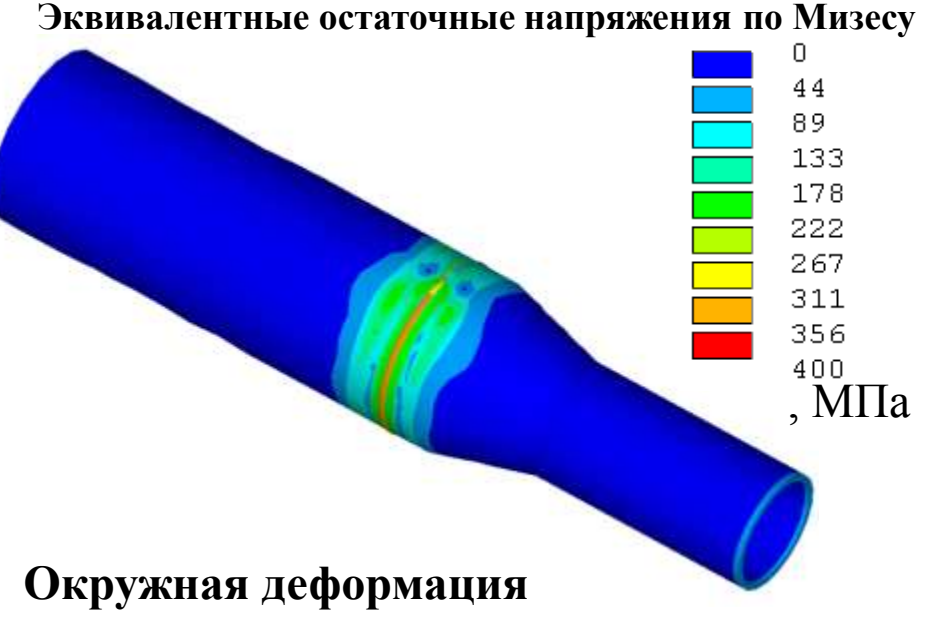
1400 1500

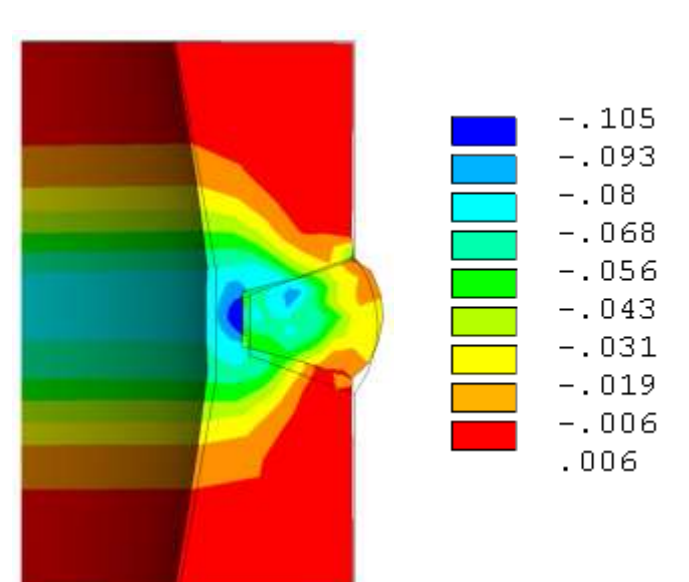
1000

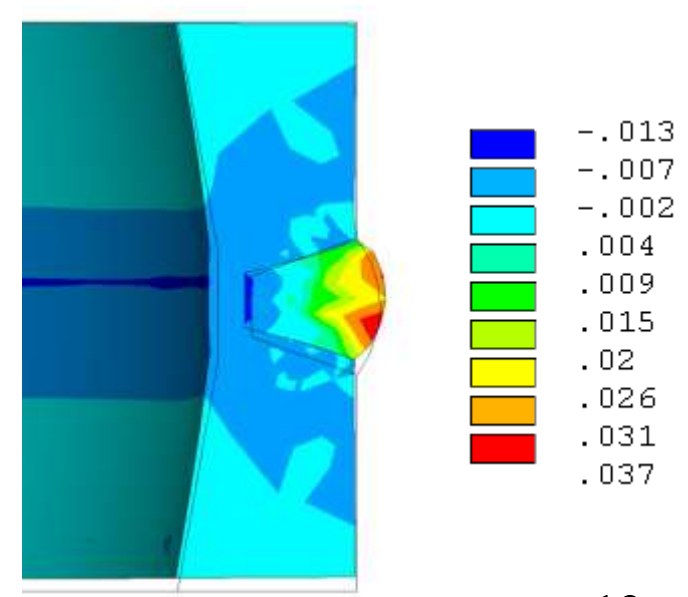
1200





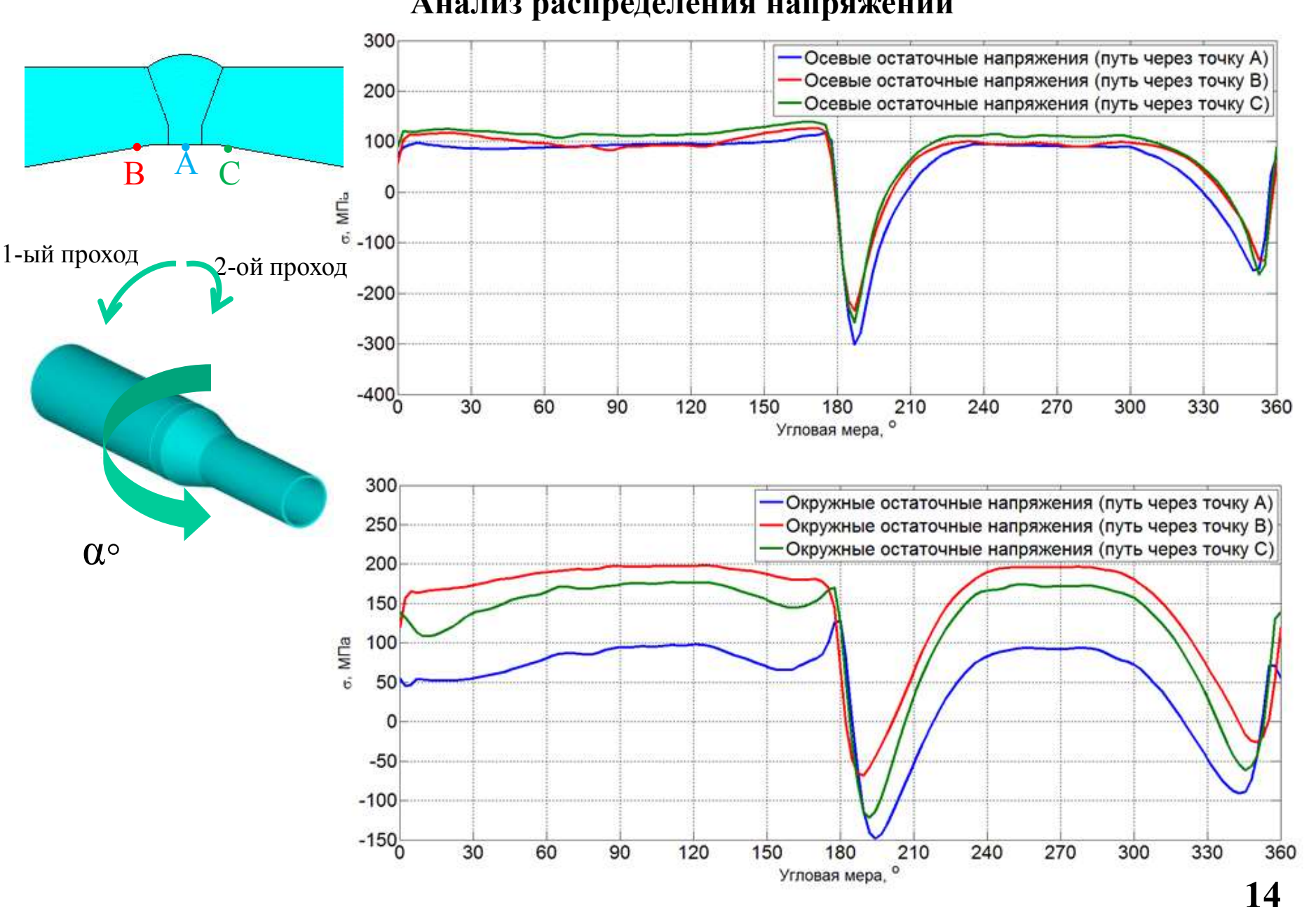






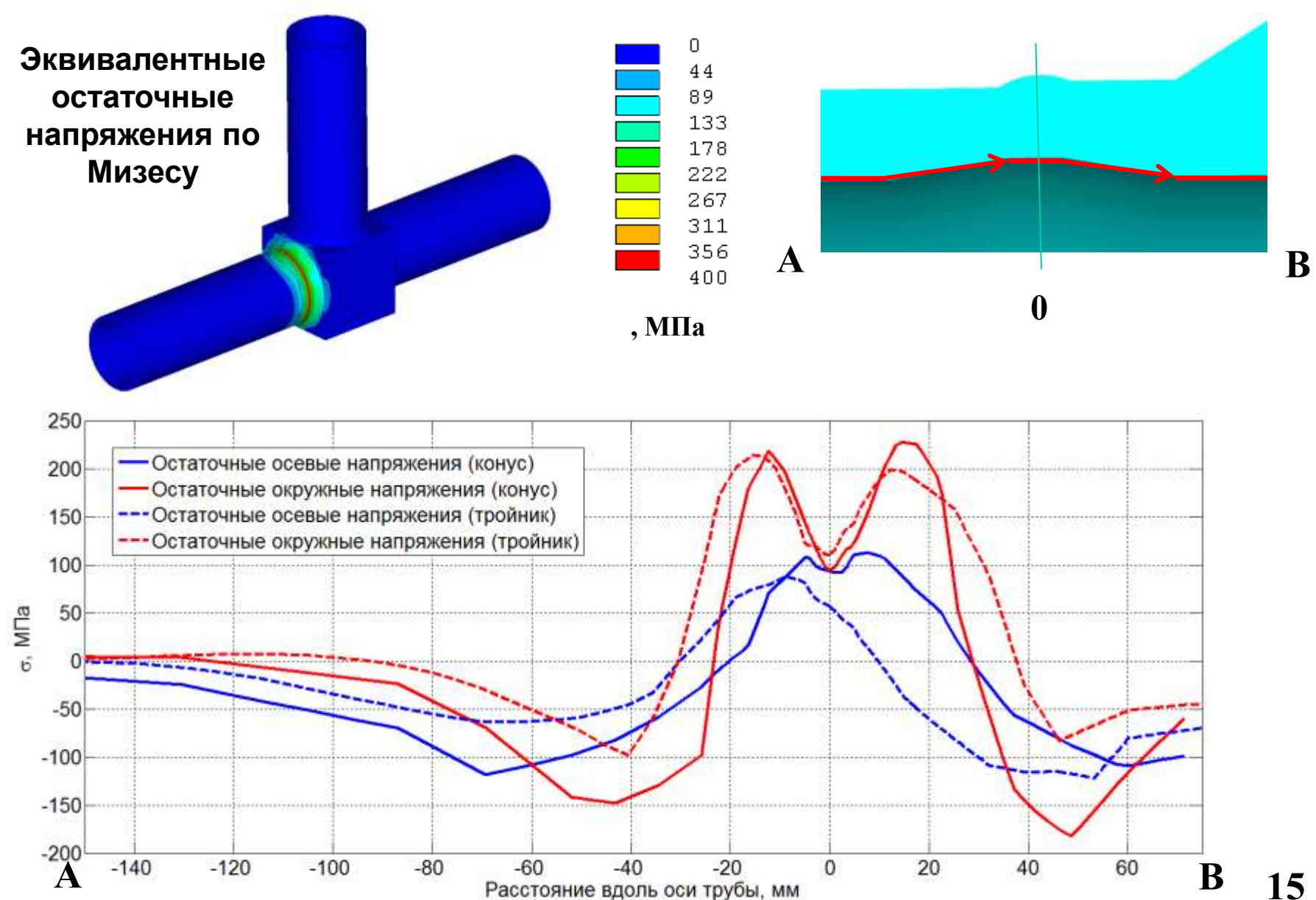


Анализ распределения напряжений



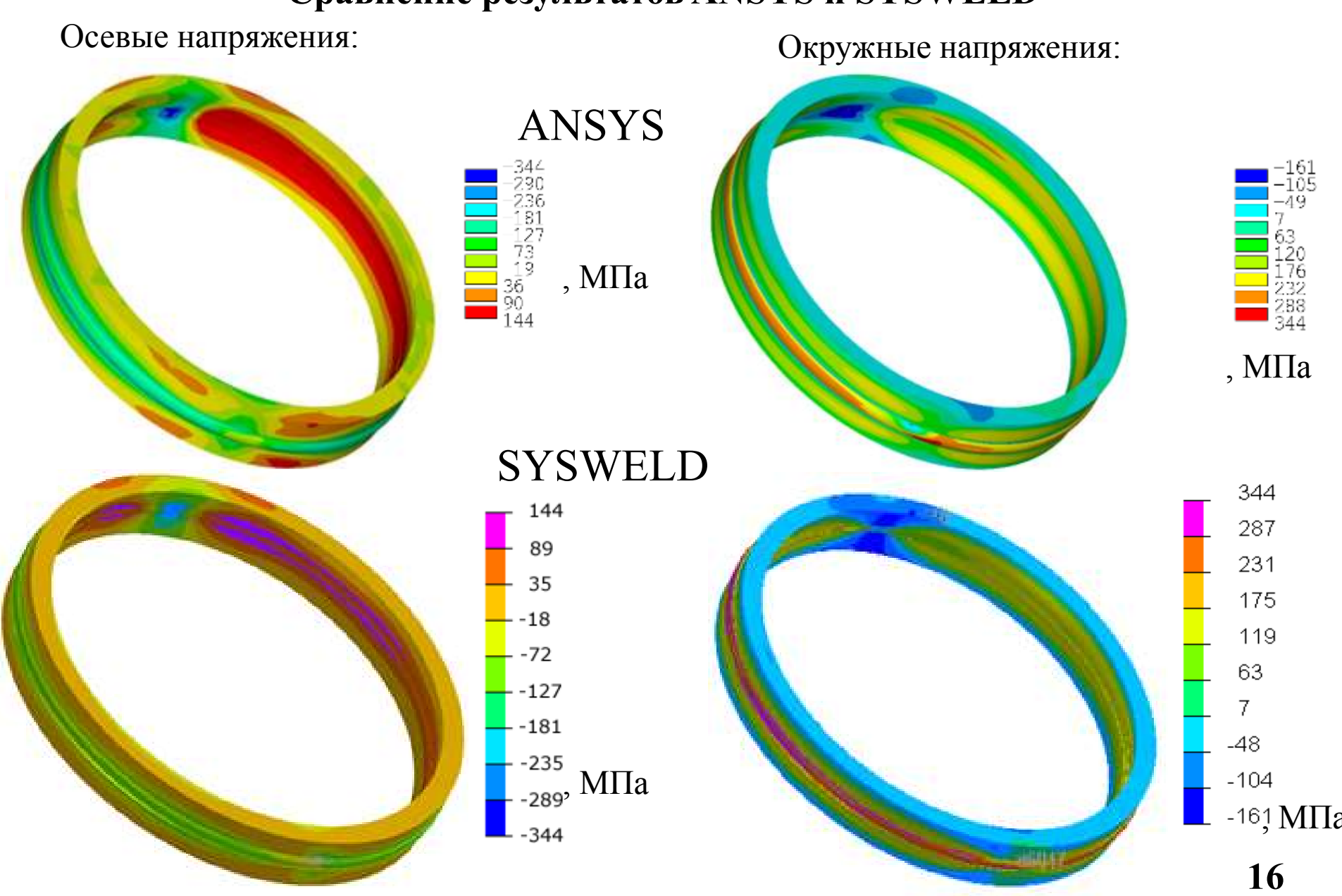


Остаточные напряжения в СС труба-тройник





Сравнение результатов ANSYS и SYSWELD



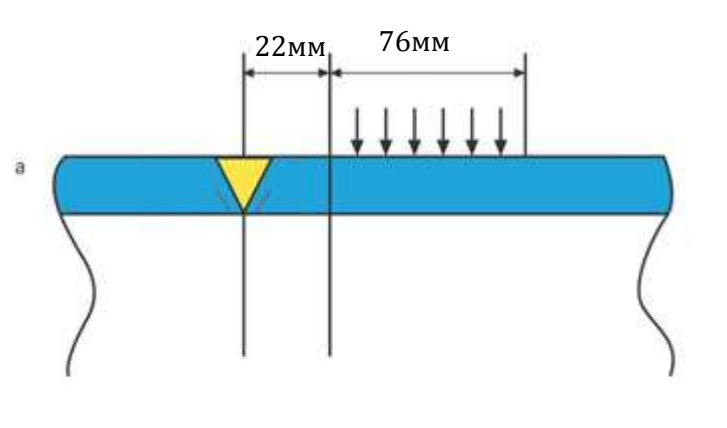
«Механика и процессы управления»

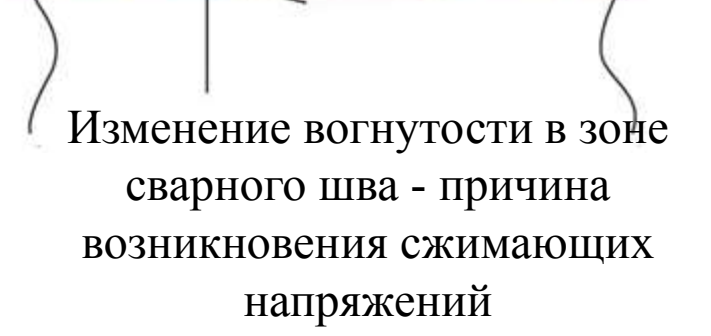
Результаты применения технологии MSIP

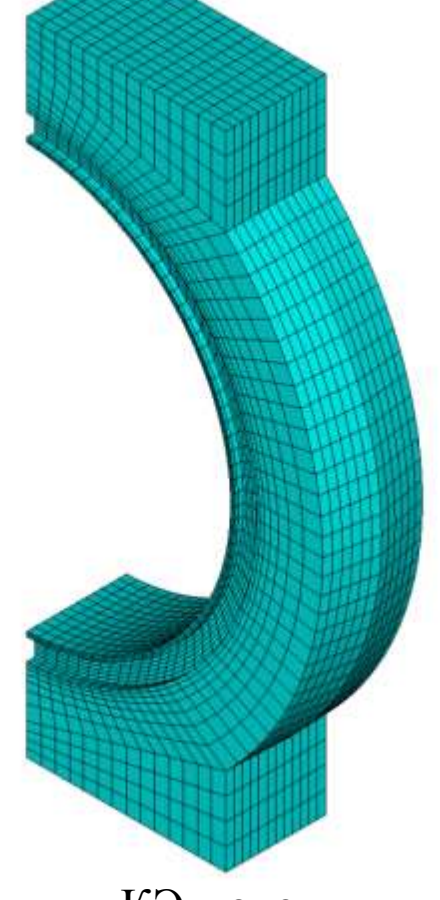


Основные параметры процесса обжатия:

- Расстояние от края кольца до середины сварного шва
- Ширина зоны обжатия
- Величина остаточной деформации







КЭ модель **Зажимного** кольца

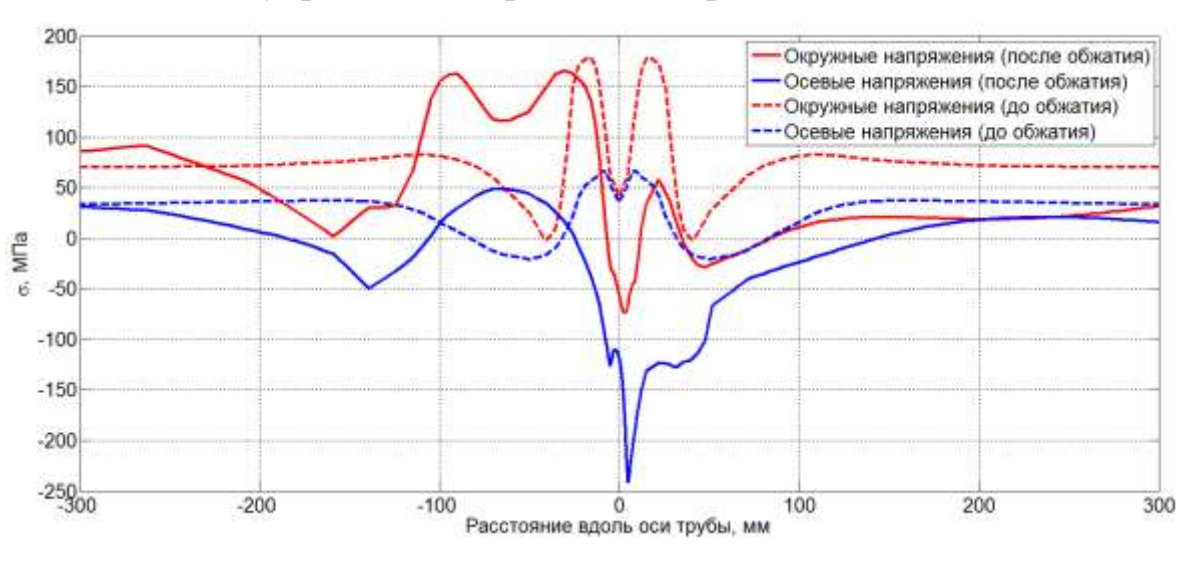


Результаты применения технологии MSIP: НДС при эксплуатационном нагружении

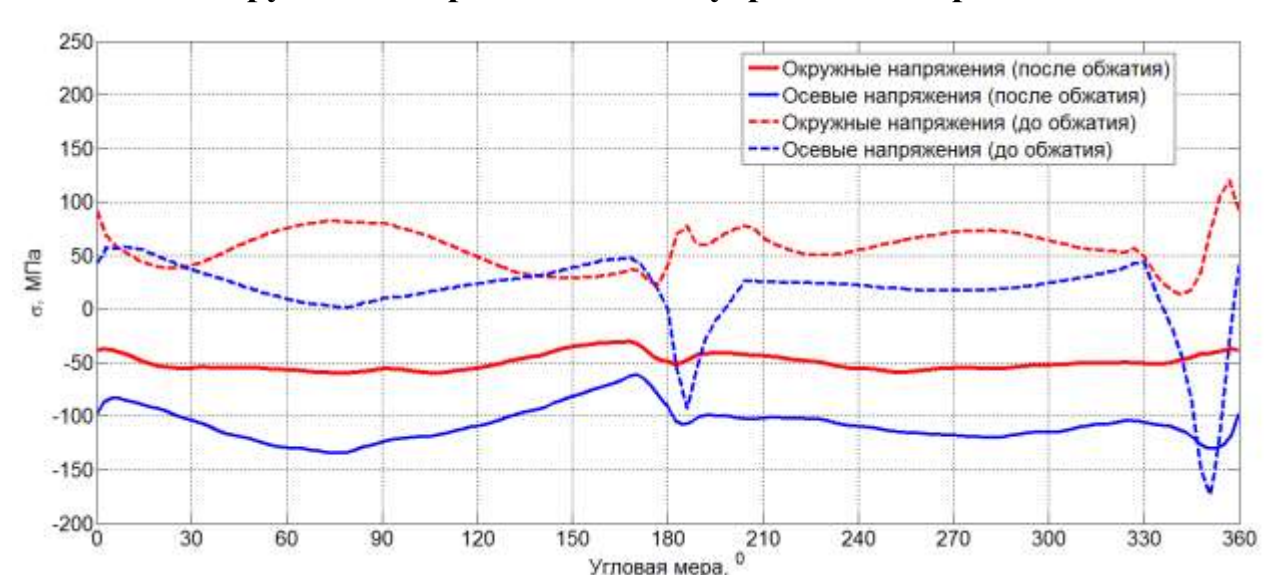
На внутренней поверхности сварного соединения

Нагружающие факторы: P=8 МПа T=290 °C Растягивающие

усилие 35 МПа



В окружном направлении на внутренней поверхности





- 1. Получено распределение остаточных сварочных напряжения в многопроходном шве в пространственной постановке
- 2. На внутренней поверхности сварного шва действуют растягивающие остаточные сварочные напряжения
- 3. Технология обжатия обеспечивает формирование поля сжимающих остаточных напряжений на внутренней поверхности сварного шва
- 4. Проведено сравнение НДС обжатого и необжатого сварного соединения с учетом эксплуатационного нагружения

